

(52)  
EN-117

## การวิเคราะห์ทำดำเนินการติดตั้ง FACTS ที่เหมาะสมในระบบจานวน

### Analysis of Optimal Allocation of FACTS Devices in Radial Distribution Systems

จักรินทร์ วิเศษยา และ กฤณภัชช์ ภูมิกิตติพิชญ์

ศูนย์วิจัยระบบไฟฟ้ากำลังและพลังงาน ภาควิชาวิศวกรรมไฟฟ้า คณะวิศวกรรมศาสตร์ มหาวิทยาลัยเทคโนโลยีราชมงคลธัญบุรี  
39 หมู่ 1 ต. คลองಹก อ. ธัญบุรี จ.ปทุมธานี 12110 โทรศัพท์: 02-549-3571 โทรสาร: 02-549-3422 E-mail: krischonme.b@en.rmutt.ac.th

#### บทคัดย่อ

บทความนี้นำเสนอการศึกษาการวิเคราะห์ทำดำเนินการติดตั้ง FACTS ที่เหมาะสม การติดตั้ง FACTS เข้าไปเพื่อชดเชยกำลังไฟฟ้าเรียกคืนที่เข้าสู่ระบบ และปรับปรุงเสถียรภาพของแรงดันไฟฟ้า การวิเคราะห์แบบจำลองของระบบใช้แบบจำลองมาตรฐานของ IEEE 33 บัส 32 สาขา ที่มีกำลังไฟฟ้ารวมของโหลดขนาด 3.72 MW. และ 2.3 MVar. กำลังไฟฟ้าจริงและกำลังไฟฟ้าเรียกคืนที่ฟื้นตัวอยู่ในระบบแรกเริ่มขนาด 221.4346 kW. และ 150.1784 kVar. การคำนวณการไหลของกำลังใช้การคำนวณแรงดันแบบไปข้างหน้า และการคำนวณกระแสแบบขั้นก้อน ผลการจำลองพบว่าขนาดแรงดันที่บัส 1 มีค่า 0.98 p.u. ส่วนบัสอื่นๆ ที่อยู่ไกลออกไปแรงดันที่บัสจะต่ำลง เนื่องจากความต้านทานของสายไฟ ความต้านทานของสายไฟที่ติดตั้ง FACTS เข้าไปในระบบพบว่าขนาดแรงดันที่บัสเดิมที่ ทำให้มีระบบมีเสถียรภาพกำลังไฟฟ้าและความน่าเชื่อถือได้ของระบบจานวนไฟฟ้าที่ดี

**คำสำคัญ:** ระบบจานวนไฟฟ้าแบบเรเดียล, FACTS, การทำดำเนินการที่เหมาะสม

#### Abstract

This paper presents the study of optimal allocation analysis of FACTS devices. FACTS device is the compensation device that use for injection the reaction and active power into the power system in order to improve the voltage stability. This study uses the IEEE 33 buses system for testing system. The total power is 3.72 MW and 2.3 MVar and the power loss is 221.4346 kW and 150.1784 kVar. The load flow analysis on distribution use forward-backward sweep methodology. The simulation results show that the FACTS devices can improve the voltage stability on the radial distribution system.

**Keywords:** Radial Distribution Systems, FACTS, Optimal Allocation

#### 1. บทนำ

ปัจจุบันในประเทศไทยระบบการส่งกำลังไฟฟ้าในระบบจานวนไฟฟ้าเป็นระบบการต่อวงจรสายป้อนหลักแบบเรเดียล

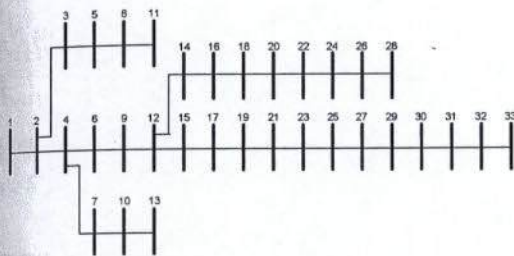
(Radial) ซึ่งหมายถึงการต่อกระจาดออกเชิงรัศมี เป็นการจัดรูปแบบวงจรที่จ่ายและมีราคาต่ำที่สุด โดยจะเป็นการจ่ายไฟฟ้าออกจากสถานีไฟฟ้าข้อเดียวที่นำพลังงานไฟฟ้าไปจ่ายให้กับโหลด ซึ่งการต่อวงจรสายป้อนหลักแบบเรเดียลนี้ จะไม่มีการเชื่อมต่อกับสายป้อนที่มาจากการต่ออื่นๆ จึงเป็นข้อเสียหลักคือเมื่อเกิดไฟลุกที่สายป้อนไฟฟ้าที่ตั้งหงุด [1] ส่งผลให้ประสิทธิภาพในการจ่ายพลังงานไฟฟ้าไปยังโหลดไม่มีความน่าเชื่อถือและไม่มีความยืดหยุ่นของระบบเท่าที่ควร เป็นผลให้การส่งกำลังไฟฟ้าในระบบจานวนไฟฟ้าเสียค่าไฟฟ้าและเสียบริภารกำลังไฟฟ้าเพิ่มตามไปด้วย ระบบจานวนไฟฟ้าโดยทั่วไปมีกำลังไฟฟ้าสูงสุดที่มีความสามารถส่งจ่ายไฟฟ้า การปรับปรุงระบบจานวนไฟฟ้าเพื่อลดภาระส่วนระหว่างความด้านท่านกับความด้านท่านเหนือหัว (R/X Ratio) ค่อนข้างสูงทั้งนั้นเป็นระบบที่มีระดับแรงดันต่ำและมีกระแสไฟลุกในสายมากกว่าระบบส่งจ่ายไฟฟ้า การปรับปรุงระบบจานวนไฟฟ้าเพื่อลดภาระส่วนระหว่างไฟฟ้าสูงสุดที่มีความสามารถส่งจ่ายไฟฟ้า [2] และการติดตั้งค่าปานิชชอร์เพื่อช่วยจ่ายกำลังไฟฟ้าเรียกคืนที่เข้าสู่ระบบ [3] ดังนั้นในบทความนี้นำเสนอการวิเคราะห์ทำดำเนินการติดตั้ง FACTS ที่เหมาะสมในระบบจานวนไฟฟ้า เพื่อช่วยจ่ายกำลังไฟฟ้าเรียกคืนที่เข้าสู่ระบบและแก้ปัญหาเพาเวอร์แฟคเตอร์เป็นการแก้ปัญหาระดับต่ำที่ให้ระบบมีเสถียรภาพกำลังไฟฟ้าและความน่าเชื่อถือได้ของระบบจานวนไฟฟ้าที่ดีขึ้น

องค์ประกอบของการนำเสนอที่มีประกอบด้วย ลำดับแรกจะกล่าวถึงระบบจานวนไฟฟ้าแบบเรเดียล การคำนวณการไหลของกำลังไฟฟ้า ปัญหาการไหลกำลังไฟฟ้าที่เหมาะสม อุปกรณ์ชดเชย FACTS ต่อมาจะกล่าวถึงทฤษฎีและข้อเสนอแนะต่างๆ สำหรับงานวิจัยลำดับต่อไป

#### 2. ระบบจานวนไฟฟ้าแบบเรเดียล (Radial Distribution Systems)

ระบบจานวนไฟฟ้าแบบเรเดียลเป็นโครงสร้างระบบจานวนไฟฟ้าที่จ่ายที่สุด ที่มีการจ่ายไฟฟ้าไปยังผู้ใช้ไฟฟ้าผ่านสายจานวนไฟฟ้าเดียว โดยที่พลังงานไฟฟ้าจะไหลไปในทิศทางเดียวกันจากสถานีไฟฟ้าไปยังโหลดและการใช้งาน การวางแผนใช้ระบบจานวนไฟฟ้าที่มีขนาดใหญ่ ผู้ใช้ไฟฟ้าเพิ่มนากที่นิยมในอนาคตที่สามารถที่จะเพิ่มระบบจานวนไฟฟ้าเรเดียลให้กลยุทธ์เป็นระบบจานวนไฟฟ้าแบบอุปป้าได้ หรือระบบจานวนไฟฟ้าแบบร่วมแพตต์อไปได้ ระบบจานวนไฟฟ้าแบบเรเดียลนิยมใช้สำหรับชั้น

หลังงานไฟฟ้าไปปั่นผู้ใช้ไฟฟ้าในพื้นที่ทั่วไปหรือในชนบท เนื่องจากระบบจานวนไฟฟ้าประเภทที่ลงทุนต่ำ มีการป้อนกันระบบบ่ำข่า และอุปกรณ์ของการวางแผนแบบนี้สามารถเข้าใจได้ง่าย ระบบจานวนแบบเรเดียล 33 บัส 32 สาขา มีกำลังไฟฟ้ารวมของโหลดขนาด 3.72 MW. และ 2.3 MVar. แรกเริ่มกำลังไฟฟ้าจริงและกำลังไฟฟ้ารีแอคทีฟที่สูงสุดเทียบรวมในระบบขนาด 221.4346 kW. และ 150.1784 kVar. ในบทความนี้ระบบจานวนยังคงสอนแบบเรเดียล 33 บัส 32 สาขา ใช้ Base MVA = 10 MVA. และ Base kV = 12.66 kV. บัสที่ 1 เป็นโหนดจ่ายที่เชื่อมต่อ กับระบบส่งโดยผ่านสถานีย่อย การเชื่อมต่อโหนดสาขาจะเริ่ม เชื่อมต่อ กับบัสที่ ไปยังบัสที่ 2 แล้วต่อไปยังโหนดสาขาอื่นๆ ต่อไป แผนภาพเด่นด้านล่างของระบบจานวนแบบเรเดียล 33 บัส 32 สาขา แสดงดังรูปที่ 1 [4]



รูปที่ 1. แผนภาพเด่นด้านล่างของระบบจานวนแบบเรเดียล 33 บัส 32 สาขา

### 3. การคำนวณการไฟลุกของกำลัง

#### 3.1 การคำนวณแรงดันแบบไปข้างหน้า (Voltage Forward Sweep):KVL

เริ่มต้นจากบัสอ้างอิง หรือโหนดโหนด (Root node) หรือโหนดบัส (Root bus) โดยที่ค่าแรงดันกำลังดันให้มีค่าคงที่และไฟฟ้าเป็นศูนย์ ส่วนค่าแรงดันและมุมไฟฟ้าของแรงดันที่บัสอื่นๆ ตั้งจากบัสอ้างอิงในรอบคำนวณที่  $k$  จะถูกคำนวณค่าแรงดันที่บัส เรื่องไปสู่บัสสุดท้ายด้วยสมการที่ (1)

$$V_{L2}^{(k)} = V_{L1}^{(k)} - Z_L J_L^{(k)} \quad (1)$$

เมื่อ  $Z_L$  ค่าอิมพีเดนซ์ของสายส่งช่วง  $L$  ระหว่างโหนด  $L_1$  และ  $L_2$  เป็นโหนดปลายทาง  $L_1$  เป็นโหนดต้นทาง  $J$  เป็นกระแสในสาย และ  $k$  เป็นรอบการคำนวณ

#### 3.2 การคำนวณกระแสแบบย้อนกลับ (Current Backward Sweep): KCL

โดยจะเริ่มจากกระแสที่โหนดจะมีค้างสมการที่ (2)

$$I_i^{(k)} = \left( \frac{S_i}{V_i^{(k-1)}} \right)^* - Y_i V_i^{(k-1)} \quad (2)$$

เมื่อ  $S_i$  เป็นกำลังที่โหนด  $i$  ( $S_i = P_i \pm jQ_i$ )  $Y_i$  เป็นผลรวมของออมมิตแคนน์ส่วนลงดินทั้งหมดที่โหนด  $i$   $V_i^{(k-1)}$  เป็นแรงดันที่โหนด  $i$  พร้อมคำนวณที่  $k-1$  การคำนวณกระแสจะเริ่มให้ขนาดแรงดันเป็น 1 p.u. และมุมแรงดันเป็นศูนย์ที่ทุกๆ โหนด ส่วนของ การคำนวณกระแสในสายจะเริ่มจาก การคำนวณที่เรียกว่า การแบ่งกระแสออกอย่างหลัง โดยที่รอบคำนวณที่  $k$  จะคำนวณกระแส  $J$  ในสายที่สุดท้ายเรื่อยมาสู่โหนด หรือโหนดบัส โดยกระแสที่สาย  $L$  หาได้จากสมการที่ (3)

$$J_L^k = -I_{L2}^k + \sum (\text{กระแสในสายที่ผ่านมาจากโหนด } L_2) \quad (3)$$

### 3.3 การเข้าสู่ค่าตอนของแรงดัน

จะทำในลักษณะเวียนซ้ำไปแต่ละรอบการคำนวณจะตรวจสอบค่า mismatch ของแรงดันในแต่ละบัสดังแสดงในสมการที่ (4)

$$\Delta V_j^{(k)} = V_j^{(k)} - V_j^{(k-1)} \quad (4)$$

เมื่อ  $\Delta V_j^{(k)}$  เป็นค่าความคลาดเคลื่อนของแรงดันที่พอยอมรับได้ mismatch ที่บัส  $j$  หลังจากการคำนวณในรอบที่  $k$   $V_j^{(k)}$  เป็นแรงดันที่บัส  $j$  ในรอบการคำนวณที่  $k$  และ  $V_j^{(k-1)}$  เป็นแรงดันที่บัส  $j$  ในรอบการคำนวณที่  $k-1$  การเข้าสู่ค่าตอนของแรงดันอาจหาได้จากผลต่างของค่าอื่นๆ ดังสมการที่ (5)

$$\left\{ \begin{array}{l} |\operatorname{Re}(\Delta V_j^{(k)})| \leq \varepsilon \\ |\operatorname{Im}(\Delta V_j^{(k)})| \leq \varepsilon \\ |(\Delta V_j^{(k)})| \leq \varepsilon \end{array} \right\} \quad (5)$$

### 4. ปัญหาการไฟลุกกำลังไฟฟ้าหมายสมที่สุด

#### 4.1 ฟังก์ชันวัดคุณประสิทธิภาพ

ฟังก์ชันวัดคุณประสิทธิภาพที่นิยมนำมาพิจารณา เช่น การจ่ายไฟลุกอย่างประหัต การลดกำลังไฟฟ้าสูงสุดเทียบในระบบ ในบทความนี้ใช้การลดกำลังไฟฟ้าสูงสุดในสายส่งน้อยที่สุดเป็นฟังก์ชันวัดคุณประสิทธิภาพซึ่งแสดงดังสมการที่ (6)

$$P_{loss} = \sum_{i=1}^{N_L} g_{i,j} \left\{ V_i^2 + V_j^2 - 2V_i V_j \cos(\delta_i - \delta_j) \right\} \quad (6)$$

โดยที่  $P_{loss}$  คือ กำลังไฟฟ้าจริงที่สูงสุดในสายส่งทั้งหมด  $N_L$  คือ จำนวนสายส่งทั้งหมด  $V_i$  คือ ขนาดแรงดันบัสที่  $i$   $V_j$  คือ ขนาดแรงดันบัสที่  $j$   $\delta_i$  คือ มุมแรงดันบัสที่  $i$   $\delta_j$  คือ มุมแรงดันบัสที่  $j$  และ  $g_{i,j}$  คือ ความนำไฟฟ้าจากบัส  $i$  ไปยังบัส  $j$

#### 4.2 ระบบเงื่อนไขบังคับ

ตัวแปรปรับดังในพหุความนี้คือ กำลังไฟฟ้าจริงที่ผลิตจากโรงจักรไฟฟ้า ขนาดแรงดันถูกความคุณโภคสถานีไฟฟ้า แหล่งหม้อแปลงและกำลังไฟฟ้าเรียก็ฟ โดยจะการปรับดังตัวแปรเหล่านี้เพื่อให้เกิดกำลังไฟฟ้าสูงสุดเท่าที่สุด และยังคงอยู่ในช่วงเดียวกันของตัวแปรแต่ละตัว โดยมีตัวแปรที่ต้องการควบคุมตามคือ พิกัดการไฟฟ้า กำลังไฟฟ้าของสายส่ง พิกัดช่วงขนาดแรงดันทุกบัสในระบบ เพื่อให้ระบบไฟฟ้าทำงานอยู่ในสภาพปกติ ระบบเงื่อนไขบังคับทั้งเงื่อนไขสมการและสมการแสดงดังต่อไปนี้

1) เงื่อนไขบังคับสมการเป็นสมการการไฟฟ้าดังนี้

$$P_{G,i} - P_{D,i} - \sum_{j=1}^{N_B} |V_i| |V_j| |Y_{i,j}| \cos(\theta_{i,j} - \delta_i + \delta_j) = 0 \quad (7)$$

$$Q_{G,i} - Q_{D,i} + \sum_{j=1}^{N_B} |V_i| |V_j| |Y_{i,j}| \sin(\theta_{i,j} - \delta_i + \delta_j) = 0 \quad (8)$$

โดยที่  $P_{G,i}$  คือ กำลังไฟฟ้าจริงผลิตที่บัส  $i$   $P_{D,i}$  คือ ความต้องการกำลังไฟฟ้าจริงที่บัส  $i$   $Q_{G,i}$  คือ กำลังไฟฟ้าเรียก็ฟที่ผลิตที่บัส  $i$   $Q_{D,i}$  คือ ความต้องการกำลังไฟฟ้าเรียก็ฟที่บัส  $i$   $N_B$  คือ จำนวนบัส  $\theta_{i,j}$  คือ มุมยอดมิติแทนบัส  $i$  ไปยังบัส  $j$  และ  $Y_{i,j}$  คือ ขนาดยอดมิติแทนบัส  $i$  ไปยังบัส  $j$

2) เงื่อนไขบังคับสมการเป็นของเขตของตัวแปรที่ต้องการปรับดัง

$$V_i^{\min} \leq V_i \leq V_i^{\max} \quad (9)$$

$$T_i^{\min} \leq T_i \leq T_i^{\max} \quad (10)$$

$$P_{G,i}^{\min} \leq P_{G,i} \leq P_{G,i}^{\max} \quad (11)$$

$$Q_{comp,i}^{\min} \leq Q_{comp,i} \leq Q_{comp,i}^{\max} \quad (12)$$

โดยที่  $V_i^{\min}, V_i^{\max}$  คือ ขอบเขตแรงดันต่ำสุดและสูงสุด  $T_i^{\min}, T_i^{\max}$  คือ ขอบเขตแท้ปั๊มหม้อแปลงต่ำสุดและสูงสุด  $P_{G,i}^{\min}, P_{G,i}^{\max}$  คือ ขอบเขตของกำลังไฟฟ้าจริงต่ำสุดและสูงสุด และ  $Q_{comp,i}^{\min}, Q_{comp,i}^{\max}$  คือ ขอบเขตกำลังไฟฟ้าเรียก็ฟต่ำสุดและสูงสุด

ฟังก์ชันปรับโดยสารสามารถเขียนได้ตามสมการที่ (13)

$$P(x) = P_{loss} + X_p + X_q + X_c + X_T + X_V + X_G \quad (13)$$

$$X_p = \rho \sum_{i=1}^{N_B} \left\{ P_{G,i} - P_{D,i} - \sum_{j=1}^{N_B} |V_i| |V_j| |Y_{i,j}| \cos(\theta_{i,j} - \delta_i + \delta_j) \right\}^2 \quad (14)$$

$$X_q = \rho \sum_{i=1}^{N_B} \left\{ Q_{G,i} - Q_{D,i} + \sum_{j=1}^{N_B} |V_i| |V_j| |Y_{i,j}| \sin(\theta_{i,j} - \delta_i + \delta_j) \right\}^2 \quad (15)$$

$$X_c = \rho \sum_{i=1}^{N_C} \left\{ \max(0, Q_{comp,i} - Q_{comp,i}^{\max}) \right\}^2 + \rho \sum_{i=1}^{N_C} \left\{ \max(0, Q_{comp,i}^{\min} - Q_{comp,i}) \right\}^2 \quad (16)$$

$$X_T = \rho \sum_{i=1}^{N_T} \left\{ \max(0, T_i - T_i^{\max}) \right\}^2 \quad (17)$$

$$+ \rho \sum_{i=1}^{N_T} \left\{ \max(0, T_i^{\min} - T_i) \right\}^2 \quad (17)$$

$$X_V = \rho \sum_{i=1}^{N_B} \left\{ \max(0, V_i - V_i^{\max}) \right\}^2 \quad (18)$$

$$+ \rho \sum_{i=1}^{N_B} \left\{ \max(0, V_i^{\min} - V_i) \right\}^2 \quad (18)$$

$$X_G = \rho \sum_{i=1}^{N_G} \left\{ \max(0, P_{G,i} - P_{G,i}^{\max}) \right\}^2 \quad (19)$$

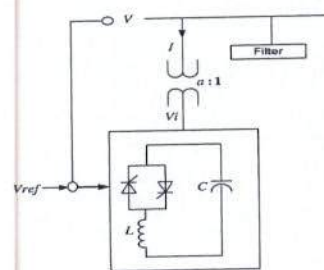
$$+ \rho \sum_{i=1}^{N_G} \left\{ \max(0, P_{G,i}^{\min} - P_{G,i}) \right\}^2 \quad (19)$$

เมื่อ  $N_G$  คือ จำนวนเครื่องกำเนิดไฟฟ้าทั้งหมดในระบบ  $N_C$  คือ จำนวนตัวอุปกรณ์ซึ่งทำลังไฟฟ้าเรียก็ฟในระบบ และ  $N_T$  คือ จำนวนของหม้อแปลงที่ติดตั้งในระบบ

#### 5. อุปกรณ์ชุดทำลังไฟฟ้าแบบยืดหยุ่น (FACTS)

##### 5.1 Static VAR Compensator (SVC)

SVC ติดตั้งขนาดนักในระบบจำหน่ายทำลังไฟฟ้า รักษาแรงดันให้อยู่ในระดับคงที่หรือใกล้เคียง ภายใต้การเปลี่ยนแปลงของช่วงเวลาของโหนด แก้ไขการเปลี่ยนแปลงแรงดันเนื่องจากเหตุการณ์ที่ไม่สงบ เช่น ประสบภัยธรรมชาติ วาตภัย ฯลฯ จุดสำคัญ เช่น จุดกึ่งกลางของสายส่งระยะไกล ช่วยเหลือในการปรับปรุงความถี่ของระบบ ช่วยปรับปรุงค่าไฟเวอร์เฟกเตอร์ แก้ไขปัญหาไฟฟ้าไม่สมดุล สามารถแบ่งออกได้เป็น 2 ชนิด คือ 1) ไทริสเตอร์คอนโทรลลิ่งเรกูลเลอร์ (TCR Thyristor Controlled Reactor) และตัวเหนี่ยวน้ำ จะใช้ไทริสเตอร์ควบคุมเรกูลเลอร์ และ 2) ไทริสเตอร์สวิตซ์คากาป้าเชล์ฟ์ (TSC Thyristor Switched Capacitor) และตัวเก็บประจุคงที่ (FC Fixed Capacitor) เรียกว่า TSC / FC ตัวเก็บประจุคงที่จะใช้การสวิตซ์ทางกล ลักษณะโครงสร้างพื้นฐานของ SVC แสดงดังรูปที่ 2.



รูปที่ 2. ลักษณะโครงสร้างพื้นฐานของ SVC

1) รูปแบบการไฟฟ้าด้วย SVC สามารถเขียนสมการได้ดังนี้

$$P_{G,i} - P_{D,i} = V_i \sum_{j=1}^{N_B} V_j (G_i \cos \theta_{i,j} + B_{i,j} \sin \theta_{i,j}) \quad (20)$$

$$Q_{G,i} + Q_{SVC,i} - Q_{D,i} = V_i \sum_{j=1}^{N_B} V_j (G_{i,j} \sin \theta_{i,j} - B_{i,j} \cos \theta_{i,j}) \quad (21)$$

2) ข้อจำกัดเกี่ยวกับตัวแปรกำลังไฟฟ้ารีแอคทีฟเพื่อขีนสมการได้ดังนี้

$$P_{G,i}^{\min} \leq P_{G,i} \leq P_{G,i}^{\max} \quad , i \in N_G \quad (22)$$

$$Q_{G,i\min} \leq Q_{G,i} \leq Q_{G,i\max} \quad , i \in N_G \quad (23)$$

$$Q_{SVCw\min} \leq Q_{SVCw} \leq Q_{SVCw\max} \quad , w \in N_{SVC} \quad (24)$$

$$V_{G,i\min} \leq V_{G,i} \leq V_{G,i\max} \quad , i \in N_G \quad (25)$$

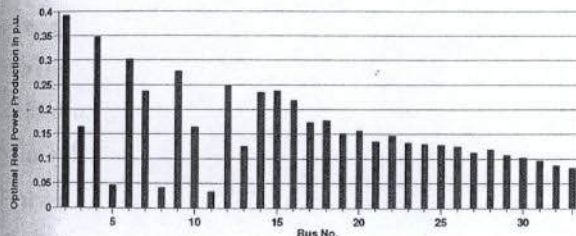
$$V_{D,k\min} \leq V_{D,k} \leq V_{D,k\max} \quad , k \in N_D \quad (26)$$

$$T_{j\min} \leq T_j \leq T_{j\max} \quad , j \in N_T \quad (27)$$

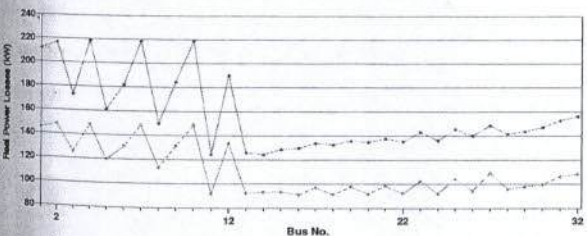
$$P_{i,j\min} \leq P_{i,j} \leq P_{i,j\max} \quad , i, j \in N_L \quad (28)$$

โดยที่  $V_{D,k}$  คือ ขนาดของแรงดันไฟฟ้าที่โอลด์บัส  $k$   $Q_{SVCw}$  คือ กำลังไฟฟ้ารีแอคทีฟเอกสารทุกดของ  $SVCw$   $P_{i,j}$  คือ กำลังไฟฟ้าจริงที่ไปอยู่บัส  $i$  ไปยังบัส  $j$   $T$  คือ ดำเนินเห็นแท็ปหน้มแปลง  $\theta$  คือ ขนาดของแรงดัน  $N_D$  คือ จำนวนของโอลด์บัส และ  $N_{SVC}$  คือ จำนวน  $SVC$  รวมทั้งหมด

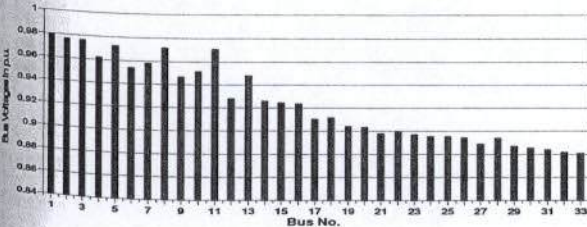
## 6. ผลการจำลอง



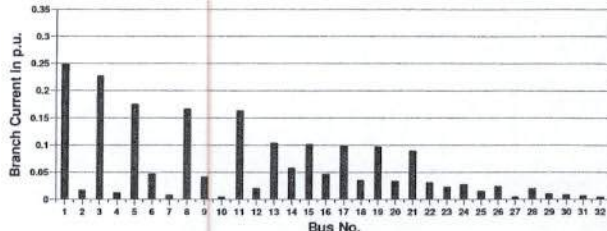
รูปที่ 3. ค่ากำลังไฟฟ้าจริงที่เหมาะสมของระบบจานวน 33 บัส 32 สาขา



รูปที่ 4. ค่าโดยประมาณกับค่ากำลังไฟฟ้าจริงสูญเสียที่ต้องการของระบบจานวน 33 บัส 32 สาขา



รูปที่ 5. ขนาดแรงดันที่บัสต่างๆ ของระบบจานวน 33 บัส 32 สาขา



รูปที่ 6. ขนาดกระแสที่สาขาต่างๆ ของระบบจานวน 33 บัส 32 สาขา

ผลการจำลองระบบมาตรฐานของ IEEE 33 บัส 32 สาขา ที่มี กำลังไฟฟ้ารวมของโอลด์ขนาด 3.72 MW. และ 2.3 MVar. แรกเริ่ม กำลังไฟฟ้าจริงและกำลังไฟฟ้ารีแอคทีฟที่สูญเสียรวมในระบบขนาด 221.4346 kW. และ 150.1784 kVar. ใช้ Base MVA = 10 MVA. และ Base kV = 12.66 kV ผลการจำลองค่าต่างๆ แสดงดังรูป

## 7. สรุป

บทความนี้นำเสนอการศึกษาการวิเคราะห์หาค่าแห่งการติดตั้ง FACTS ที่เหมาะสม โดยพิจารณาการทำงานของบัสที่ถูกติดตั้ง FACTS เข้าไปในระบบ การวิเคราะห์แบบจำลองของระบบจานวนแบบเรเดียลใช้แบบจำลองมาตรฐานของ IEEE 33 บัส 32 สาขา ที่มี กำลังไฟฟ้ารวมของโอลด์ขนาด 3.72 MW. และ 2.3 MVar. แรกเริ่ม กำลังไฟฟ้าจริงและกำลังไฟฟ้ารีแอคทีฟที่สูญเสียรวมในระบบขนาด 221.4346 kW. และ 150.1784 kVar. ใช้ Base MVA = 10 MVA. และ Base kV = 12.66 kV ผลการจำลองพบว่าขนาดแรงดันที่บัส 1 มีค่า 0.98 p.u. ส่วนบัสอื่นๆ ที่อยู่ใกล้ออกไปแรงดันที่บัสจะค่อยๆ ลดลงเรื่อยๆ โดยเฉพาะที่ปลายสาย แต่หลังติดตั้ง FACTS เข้าไปในระบบพบว่าขนาดแรงดันที่บัสดีขึ้นมีค่าเข้าใกล้ 0.98 p.u. ระบบมีการจ่ายพลังงานไฟฟ้าที่ดีขึ้นเพียงพอต่อความต้องการที่ให้ระบบดีขึ้น นำผลที่ได้จากการจำลองระบบมาวิเคราะห์ปรับปรุง เพื่อพัฒนาและแก้ปัญหาสิ่งแวดล้อมทางการแปรผันของระบบ

## 8. เอกสารอ้างอิง

- [1] ชวิติ ดำรงรัตน์, “การส่งจ่ายกำลังไฟฟ้า”, หจก.เอช-เอ็น การพิมพ์: บริษัท ชีเอ็คชูน จำกัด, 2533, หน้า 93-94.
- [2] อุทธนา เอี่ยมสมบูรณ์, “การหาค่าแห่งและขนาดของเครื่องกำนิดไฟฟ้าแบบกระจายที่เหมาะสม เพื่อลดกำลังสูญเสียและเพิ่มความเชื่อถือได้ในระบบจานวน 32 สาขา”, วิทยานิพนธ์ปริญญาโท สาขาวิชา วิศวกรรมไฟฟ้า คณะวิศวกรรมศาสตร์ มหาวิทยาลัยเทคโนโลยีราชมงคลเรณี, 2550.
- [3] ชวิติ ลิวสังกاش, “การหาค่าแห่งและขนาดติดตั้งภาชนะต่อแรงดันที่บัสต่างๆ ของระบบจานวน 32 สาขา”, วิทยานิพนธ์ปริญญาโท สาขาวิชา วิศวกรรมไฟฟ้า คณะวิศวกรรมศาสตร์ มหาวิทยาลัยเทคโนโลยีราชมงคลเรณี, 2550.
- [4] P. Mahat, W. Ongsakul, and N. Mithulananthan, “Optimal placement of wind turbine DG in primary distribution systems for real loss reduction,” Energy for Sustainable Development: Prospects and Issues for Asia (Electronic), 2006, pp. 1-6.